

# İNSANSIZ ARAÇLARLA DÜZLEMSEL OLMAYAN ALANLARIN TARANMASI

Çağlar Seylan<sup>1</sup>, Özgür Saygın Bican<sup>1</sup>, and Fatih Semiz<sup>1</sup>

Middle East Technical University, Ankara, Turkey

## Öz

Günümüzde insansız araçlarla alan taraması, yani bir alanın tümünün veya bir kısmının insansız araçlarla en az efor ile dolaşılması, alan taramasına duyulan ihtiyaç ve insansız araçların kullanımının artmasıyla beraber hızla önem kazanmaktadır. İnsansız araçlarla alan taramasının, İHA'lar (İnsansız Hava Araçları) ile bir alanda keşif yapmaktan robotlar ile mayınlı arazilerin mayınlardan arındırılmasına, büyük alışveriş merkezlerinde yerlerin robotlarla temizlenmesinden büyük arazilerde çim biçmeye kadar pek çok uygulaması mevcuttur. Problemin tek araçla alan taraması, birden fazla araçla alan taraması, çevrimiçi (arazinin nasıl olduğu daha önceden bilinmiyorsa) alan taraması gibi pek çok versiyonu mevcuttur. Ayrıca arazide çeşitli büyüklüklerde engeller de bulunabilmektedir. Doğal olarak, bu problem üzerinde birçok araştırmacı çalışmaktadır ve günümüze kadar pek çok çalışma yapılmıştır. Bu çalışmaların çok büyük bir kısmı, MKA (Minimum Kapsama Ağacı) yaklaşımını kullanmaktadır. Bu yaklaşımda temel olarak, düzlemsel bir arazi, aracın görüş alanına göre eş büyüklükte karelere bölünmekte ve bu karelerin merkezleri birer düğüm olarak kabul edilerek araziden kenarları birim ağırlıkta olan bir çizge elde edilmektedir. Sonra bu çizgenin MKA'sı bulunup bu MKA'nın etrafı araçlar tarafından turlanmaktadır. Bizim önerdiğimiz metod düzlemsel olmayan arazilerin de insansız araçlar ile taranmasına çözüm getirmektedir. Biz de çözümde MKA yaklaşımını temel aldık, ancak arazi düzlemsel olmadığı için çizgedeki kenarlara birim ağırlık vermek yerine iki kare arasındaki eğime bağlı ağırlıklar verdik. Bu yaklaşım ile aynı zamanda özellikle İHA'lar için rüzgarın şiddeti ve yönü de hesaba katılarak bir rota elde edilip alan taraması yapılabilir.

**Anahtar Kelimeler:** alan taraması, çizge teorisi, İHA (İnsansız Hava Aracı), MKA (Minimum Kapsama Ağacı), rota planlama

## Abstract

The importance of area coverage with unmanned vehicles, in other words, traveling an area with an unmanned vehicle such as a robot or an UAV (Unmanned Aerial Vehicle) completely or partially with minimum cost, is increasing with the increase in usage of such vehicles today. Area coverage with unmanned vehicles are used today in exploration of an area with a UAV, sweeping mines with robots, cleaning ground with robots in large shopping malls, mowing lawn in a large area etc. The problem has versions such as area coverage with a single unmanned vehicle, area

coverage with multiple unmanned vehicles, on-line area coverage (The map of the area that will be covered is not known before starting the coverage) with unmanned vehicles etc. In addition, the area may have obstacles that the vehicles cannot move over. Naturally, many researches are working on the problem and a lot of researches have been done on the problem until today. Spanning tree coverage is one of the major approaches to the problem. In this approach, at the basic level, the planar area is divided into identical squares according to range of sight of the vehicle, and centers of these squares are assumed to be vertexes of a graph. The vertexes of this graph are connected with the edges with unit costs and after finding MST (Minimum Spanning Tree) of the graph, the vehicle strolls around the spanning tree. The method we propose suggests a way to cover a non-planar area with unmanned vehicles. The method we propose also takes advantage of spanning tree coverage approach, but instead of assigning unit costs to the edges, we assigned a weight to each edge using slopes between vertexes connected with those edges. We have gotten noticeably better results than the results we got when we did not consider the slope between two squares and used classical spanning tree approach.

**Keywords:** area coverage, graph theory, MST (Minimum Spanning Tree), route planning, UAV (Unmanned Aerial Vehicle)

## 1 GİRİŞ

Günümüzde insansız araçlar için en önemli problemlerden birisi alan taramasıdır. Alan taraması bir arazinin her yerini dolaşmak olarak tanımlanabilir. Alan taraması yapılırken göz önünde bulundurulmuş en önemli kısıtlardan bir tanesi bu taramayı olabildiğince verimli yapmaktır. Bu amaca ulaşmak için, bir yandan taranan alan maksimize edilmeye çalışılırken, bir yandan da harcanan zaman ve yakıt minimize edilmeye çalışılır. Arazileri verimli bir şekilde taramak için en sık kullanılan yaklaşımlardan bir tanesi kapsama ağacı yöntemidir. Kapsama ağacının tanımı şu şekildedir:

G bağlı bir çizge olsun. Hem ağaç olan hem de G'nin tüm düğüm noktalarını kapsayan bir alt çizgeye kapsama ağacı denir.

Problemin tek araçla alan taraması, birden fazla araçla alan taraması, çevrimiçi (Taranacak alanın haritası daha önceden bilinmiyorsa) alan taraması, çevrimdışı alan taraması veya engel bulunan arazilerin taranması, engel bulunmayan arazilerin taranması gibi çeşitli varyasyonları mevcuttur.

Günümüzde alan taramasının İHA'lar ile bir alanda keşif yapmaktan robotlar ile mayınlı arazilerin mayınlardan arındırılmasına, büyük alışveriş merkezlerinde yerlerin robotlarla temizlenmesinden büyük arazilerde çim biçmeye kadar pek çok uygulaması mevcuttur [6], [1], [8].

Bu konuda bugüne kadar yapılan çalışmaların çok büyük bir kısmı taranacak arazileri düzlemsel olarak ele almıştır. Bu çalışmanın amacı, düzlemsel arazilerde alan taraması için geliştirilen mevcut yaklaşımlar üzerine geliştirmeler yapılarak

düzlemsel olmayan arazilerin de verimli olarak taranabileceği bir yaklaşım türetmektir.

## 2 İLGİLİ ÇALIŞMALAR

Alan taramasında, en önemli problemlerden bir tanesi arazinin bilgisayar ortamında nasıl gösterileceğidir. Daha açık söylemek gerekirse problem, sürekli gerçek dünyanın kesikli bilgisayar dünyasında nasıl gösterilebileceğidir. Çözümlerden bir tanesi A. Elfes tarafından önerilen araziye, araziye eş hücrelere bölerek yakınsamaktır [2]. Bilinmeyen ve yapılandırılmamış alanlar için, Elfes sonar tabanlı gerçek dünya harita ve navigasyon sistemi önermiştir. Böylece araziye bilgisayar ortamında gösterebilmek için bir yaklaşım bulmuştur. Bu yaklaşımda arazi, eş hücrelerden oluşan iki boyutlu bir dizi olarak gösterilmiştir. Hücre, hücreye bir araç girince veya aracın algılayıcısı hücreyi algılayınca gezilmiş olarak kabul edilir. 2 boyutlu dizideki tüm hücreler gezildiğinde alan taranmış olur.

İnsansız araçlarla alan taramasına diğer hücre tabanlı bir yaklaşım ise Y. Gabriely ve E. Rimon tarafından önerilen kapsama ağacı yaklaşımıdır [3]. Bu yaklaşımda araziye, arazi eş hücrelere bölünüp daha sonra bu hücrelerden bir çizge elde edilerek yakınsanmıştır. Daha sonra bu çizgenin kapsama ağacı bulunur ve etrafı bir ya da birden fazla araçla dolaşılır. Dolaşma bittiğinde alan taranmış olur.

S. Hert, S. Tiwari ve V. Lumelsky otonom su altı araçlarına 3 boyutlu su altı alanlarının taranması için rota planı yapan kısmi kesikli bir algoritma önermiştir [5]. Önerilen algoritma çevrimiçidir (Taranacak olan su altındaki alan tarama başlamadan önce bilinmemektedir). Bu yaklaşımdaki hücreler tamamen sabit değildir, enleri sabit fakat boyları değişkendir. Bu algoritma ile basit bağlantılı ya da basit olmayan bağlantılı alanlar taranabilmektedir. Algoritmanın özyinelemeli bir doğası vardır ve araç alanı paralel düz çizgiler boyunca zigzag hareketi yaparak tarar. Alan adalar ve koylar içerebilir. Koylara girerken ya da çıkarken koyların içindeki bazı alanlar birden fazla taranabilir ya da bazı alanlar hiç taranamayabilir (Bu tür koylara saptırıcı koy denir). Bu tür koyları taramak için özel yaklaşımlara gerek vardır. Alan ada içerdiği zaman, yani alan basit bağlantılı değilse, aynı prosedürler üzerinde küçük değişiklikler yapılarak alanın tamamen taranması sağlanır.

Alanın hücrelere ayrılması bir yakınsama olmak zorunda değildir, tam da olabilir. Alan tam olarak hücrelere ayrılırken, öyle farklı bölgelere ayrılır ki bu bölgelerin birleşimi alanı tam olarak verir [1]. Tam olarak hücrelere ayırma tekniklerinden bir tanesi alanı yamuksal şekilde ayırmaktır. J. R. VanderHeide ve N. S. V. Rao yamuksal şekilde alan ayırma tabanlı çevrimiçi bir alan taraması metodu önermiştir [7]. Temel olarak, insansız araç alan hakkında bilgi toplama fazından sonra alanı dikdörtgenlere ayırır ve her dikdörtgen için ayrı bir rota planlaması yapar. Daha sonra her dikdörtgen için bulunan rotaları birleştirir ve tek bir rota elde eder.

### 3 ÖNERİLEN YAKLAŞIM

Bugüne kadar önerilen metotlar genelde düz alanlarda alan taraması yapmak içindir. Biz bu yazıda düzlemsel olmayan, engebeli yüzeyleri taramak için, insansız araçlara rota planlaması yapan bir yaklaşım sunuyoruz. Bizim yaklaşımımız da temel olarak Y. Gabriely ve E. Rimonun yaklaşımı [3] gibi Kapsama Ağacı Taraması yöntemini kullanmaktadır. Ancak bu yöntemde, kapsama ağacı oluşturulurken, araziden elde edilen çizgenin kenarlarına birim ağırlık yerine komşu iki düğüm arasındaki eğime bağlı bir ağırlık atanır. Daha sonra oluşan çizgenin minimum kapsama ağacı bulunarak bu ağacın etrafı dolaşılır.

Arazi, bilgisayarda her bir elemanı o noktanın yüksekliğini (Belirli bir yere göre) belirten bir  $N \times M$ lik matris ile gösterilir. Şekil 1de bu matrise bir örnek görülmektedir.

10	10	10	10	10	10	20	20	20	30
20	30	30	20	20	20	30	30	30	40
20	30	30	20	30	40	40	30	30	30
30	30	30	30	30	40	40	40	40	40
20	20	30	40	40	50	50	50	50	50
20	20	30	40	50	50	60	50	50	40
20	20	20	30	40	40	50	40	40	30
20	20	20	40	40	50	40	30	40	30
30	30	30	40	40	40	40	30	30	20
20	20	20	30	30	30	30	20	20	10

Şekil 1. Arazi için örnek matris.

İnsansız araca bağlı kameranın görüş açısının, ya da daha genel bir söylemle araca bağlı cihazın kapsama alanının, matriste bir karelik alana denk geldiği farz edilmektedir. Bu matris  $N \times M$  Hazonun yaklaşımındaki gibi her kenarı iki kare olan (Daha genel bir söylemle aracın kapsama alanı çapının iki katı uzunluğunda) daha büyük karelere ayrılır [4] (Şekil 2).

Bu matristen  $(N/2) \times (M/2)$ lik yeni bir matris üretilir. Bu matrisin her bir elemanı eski matrisin  $2 \times 2$ lik karelerinin içindeki elemanlara (Şekil 2de kalın sınırlarla belirtilen) denk gelmektedir. Yeni matristeki her bir eleman da eski matristeki gibi yükseklik belirtmektedir. Bu yükseklikler eski matristeki  $2 \times 2$ lik karelerdeki 4 elemanın aritmetik ortalaması alınarak bulunur ve gerçek araziye yakınsama yapılır. Yani, bir  $2 \times 2$ lik kare içindeki elemanlar  $H_1, H_2, H_3, H_4$  ise yeni matriste bu kareye denk gelen elemanın değeri  $H_{yeni}$ , bu dört elemanın aritmetik ortalamasıdır (Şekil 3).

Yeni matristeki her bir hücre aynı zamanda bir düğüm noktasıdır. Her düğüm noktası ile, kendisine karşılık gelen hücrenin komşuları kenarlar aracılığıyla bağlıdır

10	10	10	10	10	10	20	20	20	30
20	30	30	20	20	20	30	30	30	40
20	30	30	20	30	40	40	30	30	30
30	30	30	30	30	40	40	40	40	40
20	20	30	40	40	50	50	50	50	50
20	20	30	40	50	50	60	50	50	40
20	20	20	30	40	40	50	40	40	30
20	20	20	40	40	50	40	30	40	30
30	30	30	40	40	40	40	30	30	20
20	20	20	30	30	30	30	20	20	10

**Sekil 2.** Alt karelere ayrılmış matris.

$$\begin{array}{|c|c|} \hline H_1 & H_2 \\ \hline H_3 & H_4 \\ \hline \end{array} \longrightarrow \frac{H_1 + H_2 + H_3 + H_4}{4}$$

**Sekil 3.** Alt matristeki dört elemanın aritmetik ortalaması.

(Her bir hücre, kendisinin sağındaki, solundaki, üstündeki ve altındaki hücre ile komşudur, çapraz hücreler komşudan sayılmaz). Kenarların ağırlıkları, bağladıkları düğüm noktaları arasındaki eğime bağlı bir fonksiyon aracılığıyla bulunur. Bu fonksiyon, düğüm noktaları arasındaki yatay uzaklık  $d$ , yükseklikleri arasındaki fark  $h$  ise, doğrudan aradaki uzaklığı veren Pisagor bağıntısı, yani  $\sqrt{d^2 + h^2}$ , özellikle İHA'lar için rüzgarın yönü ve şiddetine bağlı bir bağıntı, ya da amaca göre çok daha karmaşık bir bağıntı olabilir.

Çizge bu şekilde oluşturulduktan sonra minimum kapsama ağacı bulunur ve bu kapsama ağacının etrafı  $Y$ . Gabriely ve E. Rimonun yaptığı yaklaşımdaki gibi araçlar tarafından turlanır [3]. Yükseklik matrisi Şekil 1deki gibi olan matriste, doğrudan Pisagor bağıntısına göre bulunmuş çizgenin, bu yaklaşıma göre turlanırken ortaya çıkan rota şekil 4te gösterilmiştir.

## 4 TEST SONUÇLARI

Testlerde 15 tane girdi kullanıldı. Girdiler, rastgele üretilmiş araziler olup 250x250 matris şeklinde gösterilmiştir. Girdilerdeki arazilere en fazla 30 adet engel koyulmuştur. Testlerde bizim önerdiğimiz yaklaşım ile şimdiye kadar düzlemsel arazileri taramada kullanılan doğrudan kapsama ağacı yaklaşımını bu 15 girdiyi her iki yaklaşım için de kullanarak karşılaştırdık. Bunu yaparken her birinin ortalama eğimi farklı olan girdiler denedik.

Ortalama eğim, bütün komşu hücre ikililerinden elde edilen eğimlerin toplamının çizgedeki kenar sayısına bölümünden elde edilmiştir. İki hücre arasındaki

eğim, iki hücrenin ortalama yükseklikleri arasındaki farkın bu hücreler arasındaki yatay uzaklığa bölümü olarak tanımlanmıştır.

Testlerde metot, çizgedeki kenarlara ağırlık atamada kullanılan iki farklı ağırlık fonksiyonu kullanılarak denenmiştir. Bu fonksiyonlardan ilki, kenarlara doğrudan Pisagor bağıntısı kullanılarak bulunan, hücreler arasındaki doğrusal uzaklığı bulmaktadır. Diğeri ise yine ilk fonksiyon gibi Pisagor bağıntısını kullanarak hücreler arasındaki doğrusal uzaklığı bulmaktadır. Ancak bunu doğrudan kenarların ağırlığı olarak kullanmak yerine buna, artan eğim ile beraber artan bir ceza puanı eklemektedir. Fonksiyonlar ve test sonuçları daha detaylı olarak aşağıda açıklanmıştır.

#### 4.1 Doğrudan pisagor bağıntısını kullanan ağırlık fonksiyonu

Ortalama yükseklikleri  $h_1$  ve  $h_2$  olan, aralarındaki yatay uzaklık ise  $d$  olan hücrelere karşılık gelen düğümler arasındaki kenarlara,

$$w = \sqrt{|h_1 - h_2|^2 - d^2} \quad (1)$$

fonksiyonuna göre ağırlık atanmıştır. Girdi numarasına göre ortalama eğim, kapsama ağacı yaklaşımına göre bulunan ağaçtaki kenarların ağırlıkları toplamı ve önerdiğimiz metoda göre (Herhangi bir kapsama ağacından ziyade minimum kapsama ağacına göre) bulunan ağaçtaki kenarların ağırlıkları toplamı çizelge 1de gösterilmiştir. Eğime bağlı olarak değişen kenar ağırlıkları toplamı çizelge 2de gösterilmiştir (Dikey eksen ağırlıklar toplamına, yatay eksen ortalama eğime karşılık gelmektedir.).

#### 4.2 Ek olarak eğime bağlı ceza puanı da kullanan ağırlık fonksiyonu

Ortalama yükseklikleri  $h_1$  ve  $h_2$  olan, aralarındaki yatay uzaklık ise  $d$  olan hücrelere karşılık gelen düğümler arasındaki kenarlara,

$$w = \sqrt{|h_1 - h_2|^2 - d^2} * \left(1 + \frac{|h_1 - h_2|}{d}\right) \quad (2)$$

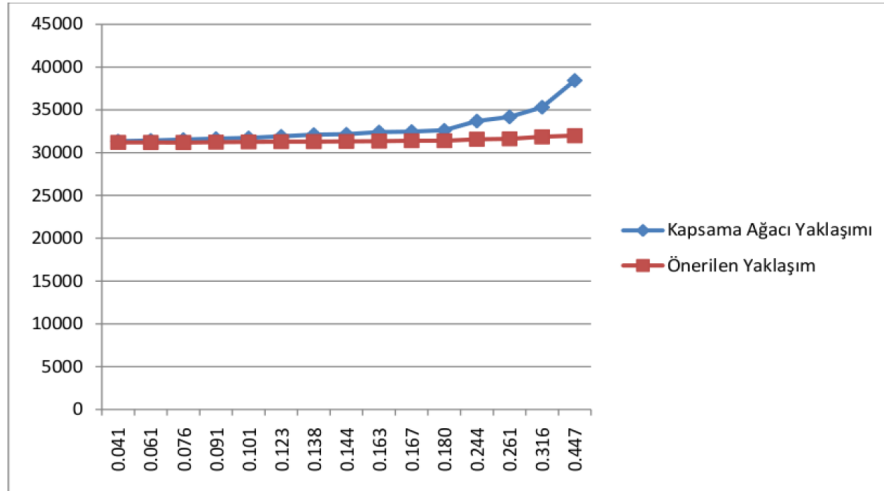
fonksiyonuna göre ağırlık atanmıştır. Bu fonksiyon, ilk fonksiyona yine eğime bağlı bir ceza puanı eklenerek elde edilmiştir. Girdi numarasına göre ortalama eğim, kapsama ağacı yaklaşımına göre bulunan ağaçtaki kenarların ağırlıkları toplamı ve önerdiğimiz metoda göre (Herhangi bir kapsama ağacından ziyade minimum kapsama ağacına göre) bulunan ağaçtaki kenarların ağırlıkları toplamı çizelge 3de gösterilmiştir. Eğime bağlı olarak değişen kenar ağırlıkları toplamı çizelge 4de gösterilmiştir (Dikey eksen ağırlıklar toplamına, yatay eksen ortalama eğime karşılık gelmektedir.).

#### 4.3 Yorumlar

İki yaklaşım doğrudan Pisagor bağıntısını kullanan ağırlık fonksiyonu ile test edildiğinde, önerilen yaklaşım diğer yaklaşıma göre biraz daha verimli rotalar bulmaktadır. Arazinin ortalama eğimi arttıkça (Özellikle 0.5e yaklaştıkça)

Girdi No	Ortalama Eğim	Kapsama Ağacı Yaklaşımı	Önerilen Yaklaşım
Girdi-1	0.041	31347.4	31193.6
Girdi-2	0.061	31429.8	31192.0
Girdi-3	0.076	31523.4	31184.9
Girdi-4	0.091	31639.1	31230.6
Girdi-5	0.101	31720.5	31251.1
Girdi-6	0.123	31908.1	31284.4
Girdi-7	0.138	32107.4	31293.4
Girdi-8	0.144	32146.8	31306.2
Girdi-9	0.163	32410.0	31349.7
Girdi-10	0.167	32464.5	31395.0
Girdi-11	0.180	32608.3	31382.8
Girdi-12	0.244	33693.2	31568.5
Girdi-13	0.261	34176.4	31609.5
Girdi-14	0.316	35306.8	31844.6
Girdi-15	0.447	38438.3	31981.4

Sekil 4. İki metodun denklem (1)'e göre karşılaştırılması.

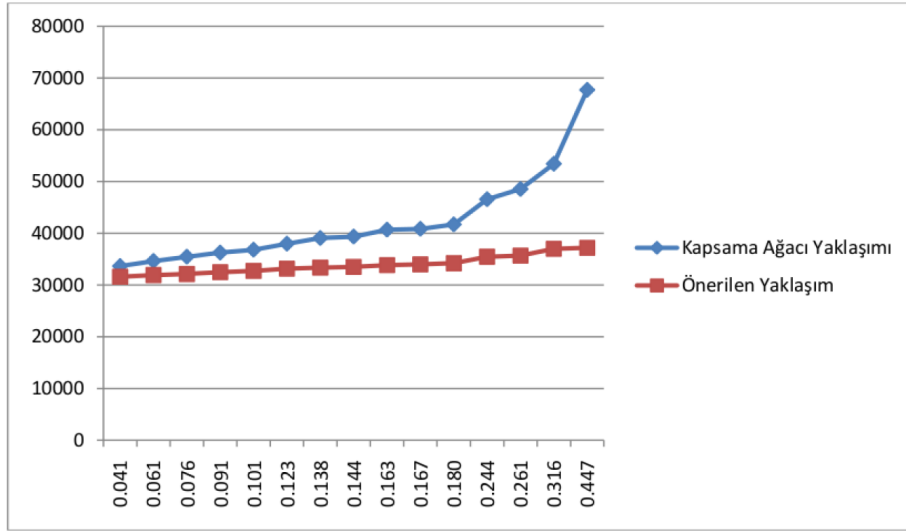


Sekil 5. İki metodun denklem (1)'e göre karşılaştırılması.

aradaki fark daha belirgin hale gelmektedir. Yaklaşımlar Pisagor bağıntısına ek olarak eğime bağlı ceza puanı da kullanan ağırlık fonksiyonu ile test edildiğinde, yine önerilen yaklaşım diğer yaklaşıma göre daha verimli rotalar bulmaktadır an-

Girdi No	Ortalama Eğim	Kapsama Ağacı Yaklaşımı	Önerilen Yaklaşım
Girdi-1	0.041	33618.1	31578.1
Girdi-2	0.061	34614.1	31901.9
Girdi-3	0.076	35440.0	32108.5
Girdi-4	0.091	36230.7	32468.1
Girdi-5	0.101	36785.4	32695.4
Girdi-6	0.123	37953.1	33147.8
Girdi-7	0.138	39047.1	33347.6
Girdi-8	0.144	39325.0	33481.9
Girdi-9	0.163	40666.2	33813.4
Girdi-10	0.167	40826.5	33976.9
Girdi-11	0.180	41677.3	34196.6
Girdi-12	0.244	46548.1	35443.8
Girdi-13	0.261	48515.4	35676.8
Girdi-14	0.316	53395.8	36982.7
Girdi-15	0.447	67680.1	37171.3

**Sekil 6.** İki metodun denklem (2)'e göre karşılaştırılması.



**Sekil 7.** İki metodun denklem (2)'e göre karşılaştırılması.

cak aradaki fark bu sefer daha belirgindir. Arazinin ortalama eğimi arttırıldıkça aradaki fark ilk ağırlık fonksiyonu kullanıldığı zamankine göre çok daha belirgin hale gelmektedir. Özellikle ortalama eğim 0.5e yaklaşırken, önerilen yaklaşımda toplam ağırlık yavaş bir artış göstermiştir, ancak diğer yaklaşımda toplam ağırlık neredeyse üstel bir biçimde artış göstermiştir.



## 5 SONUÇ

Makalede düzlemsel olmayan arazilerin insansız araçlarla verimli bir şekilde taranması için yeni bir metot önerilmiştir. Bu metot, temel olarak, kapsama ağacı yaklaşımında bulunan kenarlara birim ağırlık yerine eğime bağlı bir fonksiyona göre atanan ağırlıkları kullanmaktadır. Testlerde önerilen metot kapsama ağacı metodu ile karşılaştırılmıştır. Genel olarak önerilen metot diğer metoda göre daha verimli sonuçlar verse de kenarlara eğimi daha fazla hesaba katmak için atanan ağırlıklarda eğimin uzaklığa göre etkisi daha da artırıldığına aradaki fark daha da artmaktadır.

Düzlemsel yüzeylerden elde edilen herhangi bir kapsama ağacı aynı zamanda minimum kapsama ağacı olacağından önerilen yaklaşımla arada rotanın verimi açısından bir fark olmaz. Ancak yüzey düzlemsel değilse ortalama eğime bağlı olarak minimum kapsama ağacı herhangi bir kapsama ağacına göre daha verimli sonuçlar verir. Bu nedenle herhangi bir kapsama ağacının etrafı dolaşılmaktansa minimum kapsama ağacının etrafı dolaşırsa, düzlemsel olmayan arazilerde, tarama için daha verimli rotalar elde edilmiş olur.

## 6 TEŞEKKÜRLER

Makalenin yazarları olarak ODTÜ-TSK MODSİMMER'e bu makaleye desteğinden dolayı ve Doç. Dr. Veysi İşler'e yaptığı büyük katkılar ve yardımlardan dolayı teşekkürü borç biliriz.

## References

1. Choset, H.: Coverage for robotics—a survey of recent results. *Annals of mathematics and artificial intelligence* **31**(1-4), 113–126 (2001)
2. Elfes, A.: Sonar-based real-world mapping and navigation. *IEEE Journal on Robotics and Automation* **3**(3), 249–265 (1987)
3. Gabriely, Y., Rimon, E.: Spanning-tree based coverage of continuous areas by a mobile robot. *Annals of mathematics and artificial intelligence* **31**(1-4), 77–98 (2001)
4. Hazon, N.: Robust and Efficient Multi-Robot Coverage. Bar Ilan University. Department of Mathematics and Computer Science. (2005)
5. Hert, S., Tiwari, S., Lumelsky, V.: A terrain-covering algorithm for an auv. In: *Underwater Robots*, pp. 17–45. Springer (1996)
6. Jones, P.J.: Cooperative area surveillance strategies using multiple unmanned systems. Ph.D. thesis, Georgia Institute of Technology (2009)
7. VanderHeide, J.: Terrain coverage of an unknown room by an autonomous mobile robot. Tech. rep., Oak Ridge National Lab., TN (United States) (1995)
8. Zheng, X., Jain, S., Koenig, S., Kempe, D.: Multi-robot forest coverage. In: 2005 IEEE/RSJ International Conference on Intelligent Robots and Systems. pp. 3852–3857. IEEE (2005)